



## Guía de Ejercicios N° 2: Juntura PN

Constante	Valor
$q$	$1,602 \times 10^{-19} \text{ C}$
$m_0$	$9,109 \times 10^{-31} \text{ kg}$
$k$	$1,381 \times 10^{-23} \text{ J/K} = 8,617 \times 10^{-5} \text{ eV K}$
$h$	$6,626 \times 10^{-34} \text{ Js} = 4,136 \times 10^{-15} \text{ eV s}$
$\epsilon_0$	$8,85 \times 10^{-12} \text{ F/m} = 88.5 \text{ fF/cm} = 8,85 \cdot 10^{-14} \text{ F/cm}$
$\epsilon_r(\text{Si})$	11,7
$\epsilon_r(\text{SiO}_2)$	3,9
$T_{\text{amb}}$	27 °C = 300 K

Cuadro 1: Datos útiles.

### Parte I: Electrostática de la juntura PN

- ✓ 1. Considere una juntura PN de silicio a 300 K.
  - a) Para  $N_A = 10^{18} \text{ cm}^{-3}$  y  $N_D = 10^{15} \text{ cm}^{-3}$  calcule el potencial de juntura ( $\phi_B$ ).
  - b) Repita para  $N_A = 10^{16} \text{ cm}^{-3}$  y  $N_D = 10^{15} \text{ cm}^{-3}$ .
  - c) Entre los puntos a) y b) el valor de  $N_A$  se ha reducido en cien veces. ¿En qué porcentaje varió el potencial de juntura? ¿Qué conclusión puede obtener?
- ✓ 2. Considere una juntura PN de silicio a 300 K con  $N_A = 10^{16} \text{ cm}^{-3}$  y  $N_D = 10^{15} \text{ cm}^{-3}$ . Calcule:
  - a) El ancho de la zona de carga espacial.
  - b) El valor del campo eléctrico máximo.
- ✓ 3. Considere la juntura PN de silicio a 300K del problema 2 con una tensión aplicada  $V_{PN} = V_P - V_N$ , donde  $V_P$  es la tensión aplicada al lado P y  $V_N$  la tensión aplicada al lado N. Calcular los siguientes parámetros cuando se tiene una polarización inversa de  $V_{PN} = -5 \text{ V}$ :
  - a) El ancho de la zona de carga espacial.
  - b) El valor del campo eléctrico máximo.
  - c) Repita los puntos anteriores considerando que ahora se encuentra polarizado en directa con una tensión  $V_{PN} = 0.5 \text{ V}$ .
  - d) Compare estos resultados con los del problema 2.
- ✓ 4. Considere una juntura PN de silicio a 300 K con  $N_A = 10^{19} \text{ cm}^{-3}$  y  $N_D = 10^{17} \text{ cm}^{-3}$ .
  - a) ¿Qué es la aproximación de vaciamiento? ¿Como sirve para obtener la distribución de carga en la juntura?
  - b) Para la condición de equilibrio térmico, y bajo la aproximación de vaciamiento, realice los diagramas de
    - I. concentración de dopantes  $N_A$  y  $N_D$ ,
    - II. concentración de portadores libres  $n_0$  y  $p_0$  (en escala lineal y semilogarítmica),
    - III. densidad de carga neta  $\rho$ ,
    - IV. campo eléctrico,
    - V. potencial electrostático.
  - c) Repita el punto anterior para tensiones de inversa de  $-5 \text{ V}$  y  $-10 \text{ V}$ .



- ✓ 5. Considere una juntura PN en equilibrio térmico ( $T = 300K$ ) con las siguientes características:  $\phi_B = 536.2 \text{ mV}$ ;  $x_n = 251 \text{ nm}$ ;  $x_p = 2.51 \mu\text{m}$ . ¿Cuál son los valores de las concentraciones de impurezas?
- ✓ 6. Considere una juntura PN de silicio a 300K con  $N_A = 10^{19} \text{ cm}^{-3}$  y  $N_D = 10^{17} \text{ cm}^{-3}$ . Si el campo eléctrico máximo admitido es  $|E_{MAX}| = 5 \times 10^5 \text{ V/cm}$ , ¿Cuál es el máximo valor de tensión en inversa admisible?

## Parte II: Capacidad de juntura

- ✓ 7. Suponga que la juntura PN del problema 2 tiene un área de  $A = 10^{-4} \text{ cm}^2$ . Calcule la capacidad de la juntura para una polarización inversa de  $-5 \text{ V}$ .
- ✓ 8. Para una juntura PN simétrica con  $\phi_B = 0.9 \text{ V}$ , calcular  $C'_{j0}$ ,  $N_D$  y  $N_A$ .
- ✓ 9. Se conoce que la capacidad de una juntura P<sup>+</sup>N es  $C'_{j0} = 29 \text{ nF/cm}^2$  y que  $\phi_B = 840 \text{ mV}$ . Hallar  $\phi_n$ ,  $\phi_p$ ,  $N_A$  y  $N_D$ .
- ✓ 10. Dada una juntura P<sup>+</sup>N de silicio a 300K. Asuma que la intersección de la curva de la Fig. 1 con el eje horizontal corresponde a un potencial de juntura de  $0.855 \text{ V}$  y que la pendiente de la recta es  $-10^{15} (\text{F/cm}^2)^{-2}/\text{V}$ . Calcule la concentración de impurezas  $N_A$  y  $N_D$  de la juntura.

$$1/C_j'^2 (\times 10^{15} (\text{F/cm}^2)^{-2})$$

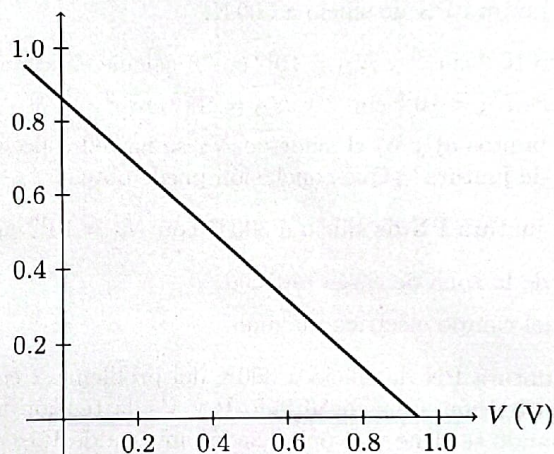


Figura 1

## Parte III: Ejercicios integradores

- ✓ 11. Se tiene una juntura PN de silicio de la cual se conocen las conductividades de la zona N ( $\sigma_N = 48 \Omega^{-1}\text{cm}^{-1}$ ) y zona P ( $\sigma_P = 15,36 \times 10^{-3} \Omega^{-1}\text{cm}^{-1}$ ), el campo eléctrico máximo  $|E_0| = 6,7 \text{ kV/cm}$  y ancho de la zona de vaciamiento  $x_{d0} = 2,17 \mu\text{m}$ 
  - ¿La juntura es simétrica, asimétrica o fuertemente asimétrica? ¿Por qué? Justificar y mencionar cualquier aproximación usada.
  - Si la carga a ambos lados de la juntura es  $7 \text{ nC/cm}^2$  en valor absoluto, hallar las movilidades de huecos y electrones a ambos lados de la juntura.
- ✓ 12. Considere una juntura PN de silicio a 300 K con una concentración de  $N_A = 10^{18} \text{ cm}^{-3}$ .
  - ¿Cuáles son los límites de  $\phi_B$  para una Juntura PN? ¿Por qué?
  - Teniendo en cuenta lo analizado en el punto anterior, determine la concentración  $N_D$  tal que para una tensión de inversa de  $V_{PN} = -45 \text{ V}$  el campo eléctrico máximo sea  $|E_{MAX}| = 3 \times 10^5 \text{ V/cm}$ .



- c) Si se desea que el campo eléctrico máximo no supere el valor  $|E_{MAX}| = 3 \times 10^5 \text{ V/cm}$ , conservando  $N_A = 10^{18} \text{ cm}^{-3}$ , el valor de  $N_D$  hallado en el punto a) ¿es una cota máxima o una cota mínima de concentración de dopantes donores?
- ✓ 13. Se tiene una juntura P+N donde se sabe que sin potencial aplicado, el máximo valor que alcanza el campo eléctrico es  $|E_0| = 10 \text{ kV/cm}$  y que  $N_D = 4.5 \times 10^{14} \text{ cm}^{-3}$  ( $T = 300 \text{ K}$ ).
- a) ¿Cuál es la concentración  $N_A$  de la juntura?
  - b) Sabiendo que el  $|E|$  de ruptura de silicio es  $170 \text{ kV/cm}$ , ¿cuál es el máximo valor de  $N_A$  que puede utilizarse en esta juntura?
  - c) Suponiendo ahora que  $N_D = 10^{17} \text{ cm}^{-3}$ , ¿cuál es el máximo valor de  $N_A$  que puede utilizarse en esta nueva juntura? (Considerar juntura P+N)
  - d) Explique la siguiente afirmación: "Dado que el valor de  $\phi_B$  es siempre aproximadamente 1 V, mayores concentraciones de dopantes implicarán menores valores de  $x_p$  y  $x_n$  y en consiguiente obtener la misma diferencia de potencial en menor distancia implicará necesariamente un mayor valor de campo eléctrico en la juntura".
- ✗ 14. De una juntura muy asimétrica PN<sup>+</sup> con área  $A = 0.5 \text{ mm}^2$ , se tienen las siguientes mediciones de capacidad en polarización inversa:
- | $V_{PN}$ [V] | $C_j$ [pF] |
|--------------|------------|
| -1           | 3.6        |
| -2           | 2.6        |
| -3           | 2.4        |
- a) ¿Por qué disminuye el valor de la capacidad a medida que aumenta la tensión inversa aplicada?
  - b) Obtenga las concentraciones de impurezas  $N_A$  y  $N_D$  y el potencial de built-in ( $\phi_B$ ).
- ✗ 15. Diseñe una juntura PN de silicio con un área de  $A = 5.5 \times 10^{-4} \text{ cm}^2$  tal que a 300K y para una polarización inversa de  $V_{PN} = -1.2 \text{ V}$  verifique que el 10 % del total de la zona de carga espacial esté en la región N, y que su capacidad de juntura sea  $3.5 \text{ pF}$ .
- a) Determine las concentraciones  $N_D$  y  $N_A$  necesarias.
  - b) Determine el potencial de juntura resultante.

■ Guía N°2: Juntura PN

• Parte I: Electrónica de la juntura PN

1. a) En equilibrio térmico, es posible obtener el potencial mediante la relación de Boltzmann, tal que:

$$\text{en QNR-P: } p_0 = N_a \Rightarrow \phi_p = -\frac{kT}{q} \ln \frac{N_a}{n_i}$$

$$\text{en QNR-N: } n_0 = N_d \Rightarrow \phi_n = \frac{kT}{q} \ln \frac{N_d}{n_0}$$

A lo cual, se llega a que el potencial de juntura  $\phi_B$  vale:

$$\phi_B = \phi_n - \phi_p = \frac{kT}{q} \ln \frac{N_a N_d}{n_i^2} \quad M_{\text{Si}} = 6,822 \cdot 10^9 \text{ cm}^{-3}$$

\* Esta es una expresión general, para lo cual se empleó la aproximación de valiancito.

$$\phi_B = \frac{1,381 \cdot 10^{-23} \frac{J}{K} \cdot 300K}{1,602 \cdot 10^{-19} C} \cdot \ln \left( \frac{10^{18} \text{ cm}^{-3} \cdot 10^{20} \text{ cm}^{-3}}{(6,822 \cdot 10^9 \text{ cm}^{-3})^2} \right)$$

$$\boxed{\phi_B = 0,7939V \approx 800 \mu V} \quad \text{Para considerar } \frac{I_{\text{out}}}{C_{\text{out}}} = V_{\text{out}}$$

$$b) \phi_B = \frac{1,381 \cdot 10^{-23} \frac{J}{K} \cdot 300K}{1,602 \cdot 10^{-19} C} \cdot \ln \left( \frac{10^{16} \text{ cm}^{-3} \cdot 10^{20} \text{ cm}^{-3}}{(6,822 \cdot 10^9 \text{ cm}^{-3})^2} \right)$$

$$\boxed{\phi_B = 0,6748V \approx 678 \mu V}$$

Para calcular el porcentaje de variación

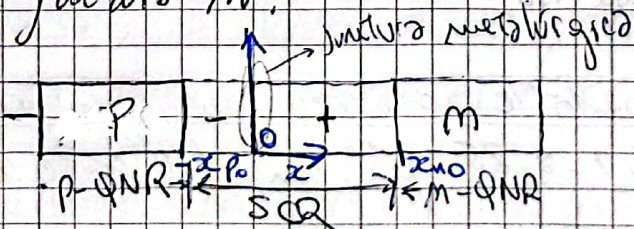
$$\text{Variación} = \frac{\text{Valor nuevo} - \text{Valor viejo}}{\text{Valor viejo}} \cdot 100\%$$

Entonces.

$$\text{Variación} = \frac{0,6748V - 0,7933V}{0,7933V} \cdot 100\% = 15\%$$

El potencial de juntura varió un 15%, esto se debe a que disminuyó la concentración de Aceptores con respecto a su concentración original, por lo que el potencial  $\phi_p$ , que depende del desplazamiento NA disminuye. Entonces, la diferencia de potencial con respecto a  $\phi_m$  será menor, puesto que  $N_d$  se mantiene constante.

2.º (a) En una juntura PN en equilibrio hay una región de carga espacial rodeada por dos regiones  $C^+$   $\rightarrow$  Neutrales, lo que genera un potencial de juntura en una juntura PN.



Para obtener  $x_{m_0}$  y  $x_{p_0}$  (notar que en el sistema de referencia tienen  $x_{p_0}$  como positivo y le agregó un signo)

$$x_{m_0} = \sqrt{\frac{2G_s \phi_B N_a}{\rho (N_a + N_d) N_d}} \quad x_{p_0} = \sqrt{\frac{2G_s \phi_B N_d}{\rho (N_a + N_d) N_a}} \quad * F = \frac{C}{V}$$

El ancho total de la región de carga espacial es:

$$x_{d_0} = x_{m_0} + x_{p_0} = \sqrt{\frac{2G_s \phi_B (N_a + N_d)}{\rho N_a N_d}}$$

$\phi_B$  fue calculada en el 1. b.

$$x_{d_0} = \sqrt{\frac{2 \cdot 11,7 \cdot 8,85 \cdot 10^{-12} \text{ Nm}}{1,602 \cdot 10^{19} \text{ C}} \cdot 0,6748 \text{ V} \left( \frac{10^{16} \text{ cm}^{-3} + 10^{25} \text{ cm}^{-3}}{10^{16} \text{ cm}^{-3} \cdot 10^{25} \text{ cm}^{-3}} \right)}$$

$$x_{d_0} = 9,7956 \cdot 10^3 \text{ cm}$$

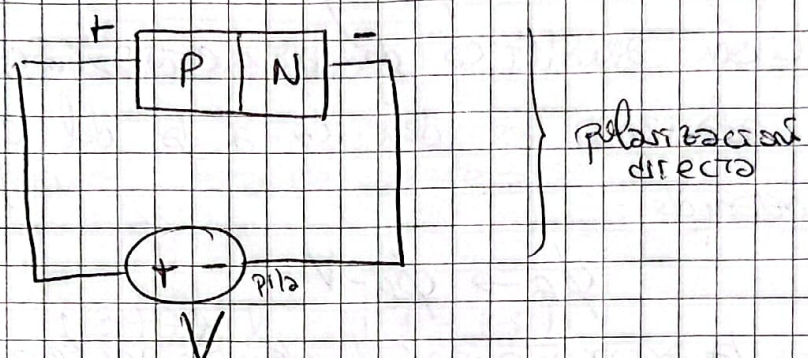
(b) El campo eléctrico es constante en la juntura nomenclárgica y se calcula como:

$$|E_0| = \sqrt{\frac{2\rho \phi_B N_a N_d}{G_s (N_a + N_d)}}$$

$$|E_0| = \sqrt{\frac{2 \cdot 1,602 \cdot 10^{19} \text{ C} \cdot 0,6748 \text{ V} \cdot 10^{16} \cdot 10^{25} \text{ cm}^{-3} \text{ C} \text{ m}^{-3}}{11,7 \cdot 8,85 \cdot 10^{12} \text{ Nm} \cdot (10^{16} \text{ cm}^{-3} + 10^{25} \text{ cm}^{-3}) \cdot 9,0 \cdot 10^{-6} \text{ m}^3}}$$

$$|E_0| = 1,3777 \text{ V/m}$$

3. a) Convención de signos para la tensión de polarización de la junta PN



En polarización directa  $V > 0$  y "p" es el lado positivo y "n" del lado negativo.

En polarización inversa  $V < 0$  y "p" es el lado negativo y "n" del lado positivo.

Al aplicar una diferencia de potencial entre los terminales de la zona desierta (o SCA):

en equilibrio:  $\phi_B$

o en polarización directa:  $\phi_B - V < \phi_B$

o en polarización inversa:  $\phi_B - V > \phi_B$  (y por  $V < 0$ )

En directa, la diferencia de potencial en la zona de SCA disminuye, entonces  $|E|$  disminuye y, por lo tanto,  $x_d$  disminuye.

En inversa, la diferencia de potencial en la zona desierta aumenta, entonces  $|E|$  aumenta y  $x_d$  aumenta.

Aditivamente, la electrotorza de la junta PN polarizada no se modifica aditivamente respecto del equilibrio térmico. Se modifica

el efecto de carga en la zona desactiva (SD) de modo de compensar el potencial forzado extremadamente. De todo esto, se concluye que:

La formulación analítica de la electroestática de la junta PN polarizada es idéntica a la del equilibrio térmico, pero considerando:

$$\phi_B \rightarrow \phi_B - V$$

utilizando la aproximación de incertidumbre:

$$x_m(V) = \sqrt{\frac{2\epsilon_0(\phi_B - V)N_A}{q(N_A + N_D)N_D}}$$

$$x_p(V) = \sqrt{\frac{2\epsilon_0(\phi_B - V)N_D}{q(N_A + N_D)N_A}}$$

$$x_d(V) = \sqrt{\frac{2\epsilon_0(\phi_B - V)(N_A + N_D)}{qN_A N_D}} = x_m + x_p$$

$$|\epsilon|(V) = \sqrt{\frac{2\epsilon_0(\phi_B - V)N_A N_D}{\epsilon_0(N_A + N_D)}}$$

Asimismo se puede escribir en función de los valores sin tensión V aplicada:

$$x_m(V) = x_{m0} \sqrt{1 - \frac{V}{\phi_B}}$$

$$x_p(V) = x_{p0} \sqrt{1 - \frac{V}{\phi_B}}$$

$$x_d(V) = x_{d0} \sqrt{1 - \frac{V}{\phi_B}}$$

$$|\epsilon|(V) = |\epsilon_0| \sqrt{1 - \frac{V}{\phi_B}}$$

Entonces, como los resultados del problema 2:

$$x_d(-5V) = 9,7956 \cdot 10^{-3} \text{ cm} \cdot \sqrt{1 - \frac{(-5)}{0,6748}}$$

$$|E|(-5V) = 0,0284 \text{ cm}$$

Aumento, como era de esperarse.

b)

$$|E|(-5V) = 1,3777 \frac{V}{m} \cdot \sqrt{1 - \frac{(-5)}{0,6748}}$$

$$|E|(-5V) = 3,995 \frac{V}{m}$$

c) El procedimiento es similar.

$$x_d(0,5) = 9,7956 \cdot 10^{-3} \text{ cm} \cdot \sqrt{1 - \frac{(0,5)}{0,6748}}$$

$$x_d = 4,9855 \cdot 10^{-3} \text{ cm}$$

$$|E|(0,5) = 1,3777 \frac{V}{m} \cdot \sqrt{1 - \frac{(0,5)}{0,6748}}$$

$$|E|(0,5) = 0,7011 \frac{V}{m}$$

d) Se realizó una explicación detallada en el punto (a), aunque como puede observarse, en inversa aumentan los valores y en directa disminuyen. Si medimos el dipolo de carga en la zona desactivada (SCZ) a modo de comprobar el potencial forzado extensamente.

Entonces, como los resultados del problema 2:

$$x_d(-5V) = 9,7956 \cdot 10^{-3} \text{ cm} \cdot \sqrt{1 - \frac{(-5)}{0,6748}}$$

$$\boxed{x_d(-5V) = 0,0284 \text{ cm}}$$

Aumento, como era de esperarse.

b)  $|E|(-5V) = 1,3777 \frac{V}{m} \cdot \sqrt{1 - \frac{(-5)}{0,6748}}$

$$\boxed{|E|(-5V) = 3,995 \frac{V}{m}}$$

c) El procedimiento es similar...

$$x_d(0,5) = 9,7956 \cdot 10^{-3} \text{ cm} \cdot \sqrt{1 - \frac{(0,5)}{0,6748}}$$

$$\boxed{x_d = 4,9855 \cdot 10^{-3} \text{ cm}}$$

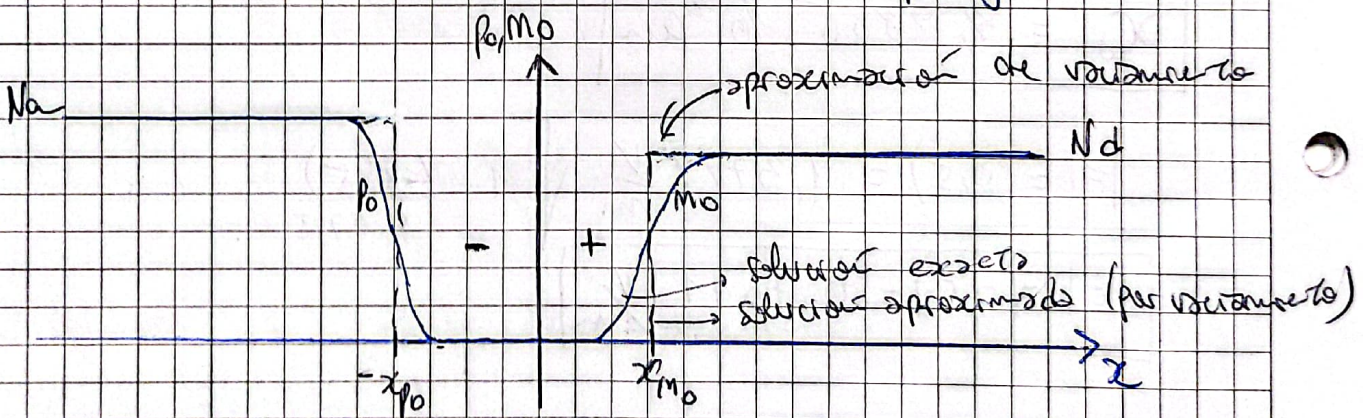
$$|E|(0,5) = 1,3777 \frac{V}{m} \cdot \sqrt{1 - \frac{(0,5)}{0,6748}}$$

$$\boxed{|E|(0,5) = 0,7011 \frac{V}{m}}$$

d) Se realizará una explicación detallada en el punto (a), aunque como puede observarse, en inversa aumentan los valores y en directa disminuyen. Si medimos el dipolo de carga en la zona desierta (SCZ) a modo de comprobar el potencial fijado externamente.

% (a) Las aproximaciones de vanadurato combate  
en suponer que la práctica totalidad de la  
carga existente en la zona SCR es debida a  
impresas ionizadas no compensadas, consiste  
en despreciar la carga debida a los portadores  
nuevos / libres ya que sus concentraciones  
son muchísimo menores que el dopante.

- Se asume que los QNA's tienen neutralidad  
de carga.
- Se asume que las SCR están vacías de  
portadores (región de vaciamiento)
- La transición entre SCR y QNA's es abrupta  
(se debe calcular donde colocar  $-x_{p0}$  y  $x_{n0}$ ).



Entonces:

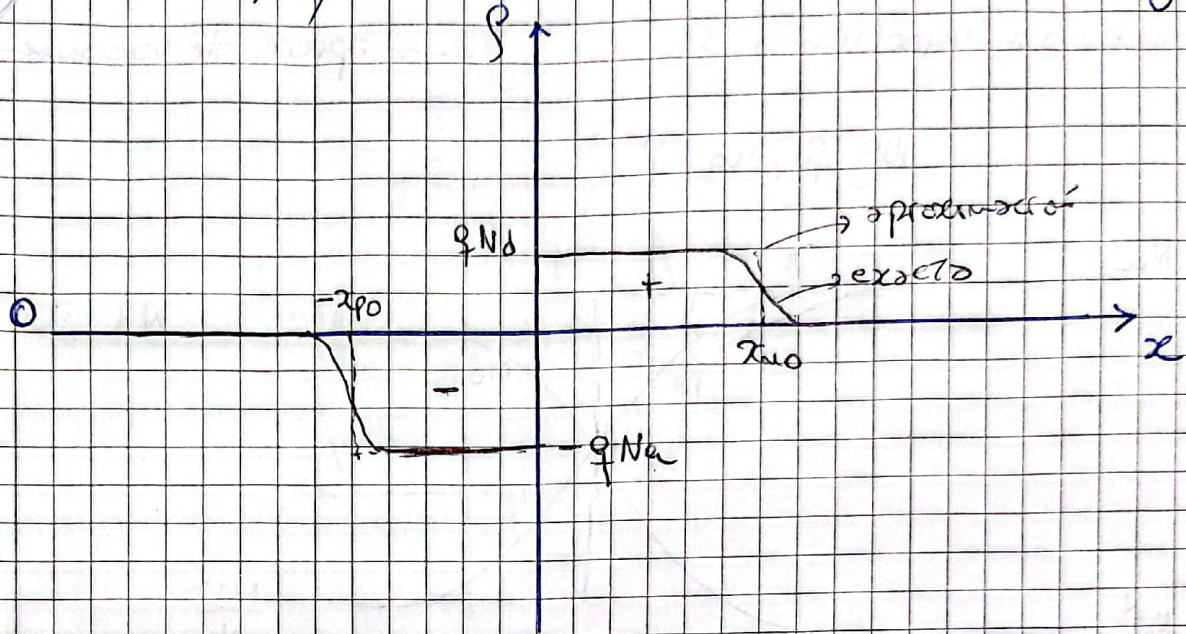
$$x < -x_{p0} \Rightarrow P_0(x) = N_a, M_0(x) = \frac{M_i^2}{N_a}$$

$$-x_{p0} < x < 0 \Rightarrow P_0(x), M_0(x) \ll N_a$$

$$0 < x < x_{n0} \Rightarrow M_0(x), P_0(x) \ll N_d$$

$$x_{n0} < x \Rightarrow M_0(x) = N_d, P_0(x) = \frac{M_i^2}{N_d}$$

(b) Finalmente, para obtener la densidad de carga espacial:



Entonces:

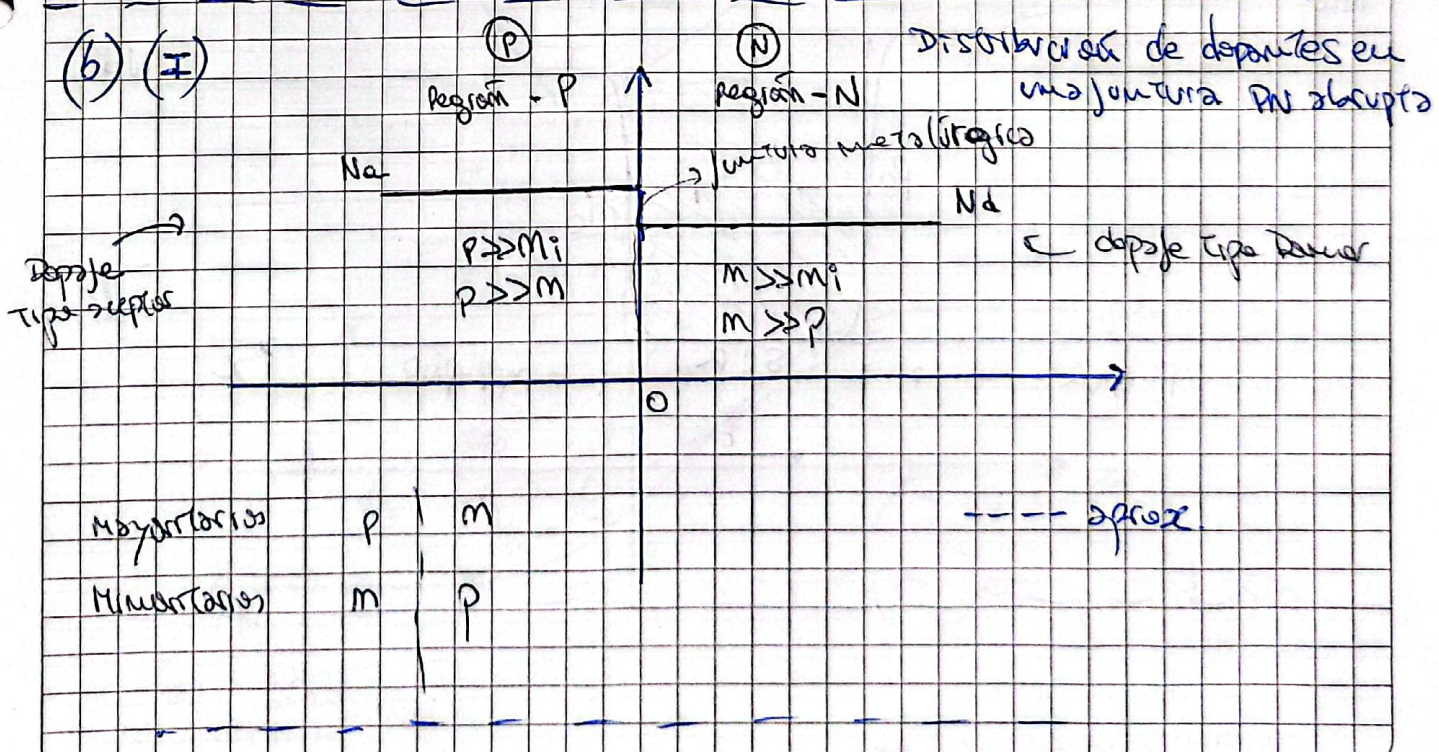
$$p(x) = 0 \quad \text{si} \quad x < -x_{p0}$$

$$p(x) = -q_{Na} \quad \text{si} \quad -x_{p0} < x < 0$$

$$p(x) = q_{Nd} \quad \text{si} \quad 0 < x < x_{m0}$$

$$p(x) = 0 \quad \text{si} \quad x_{m0} < x$$

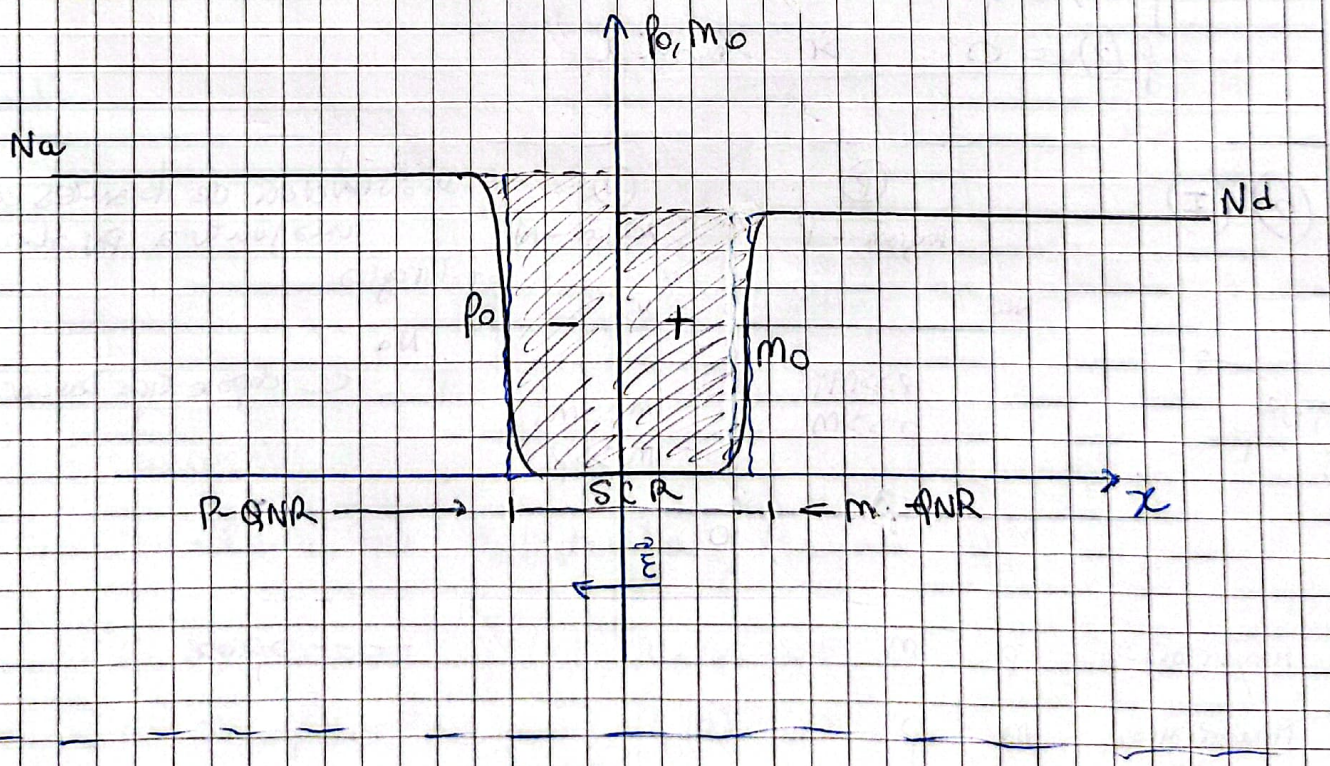
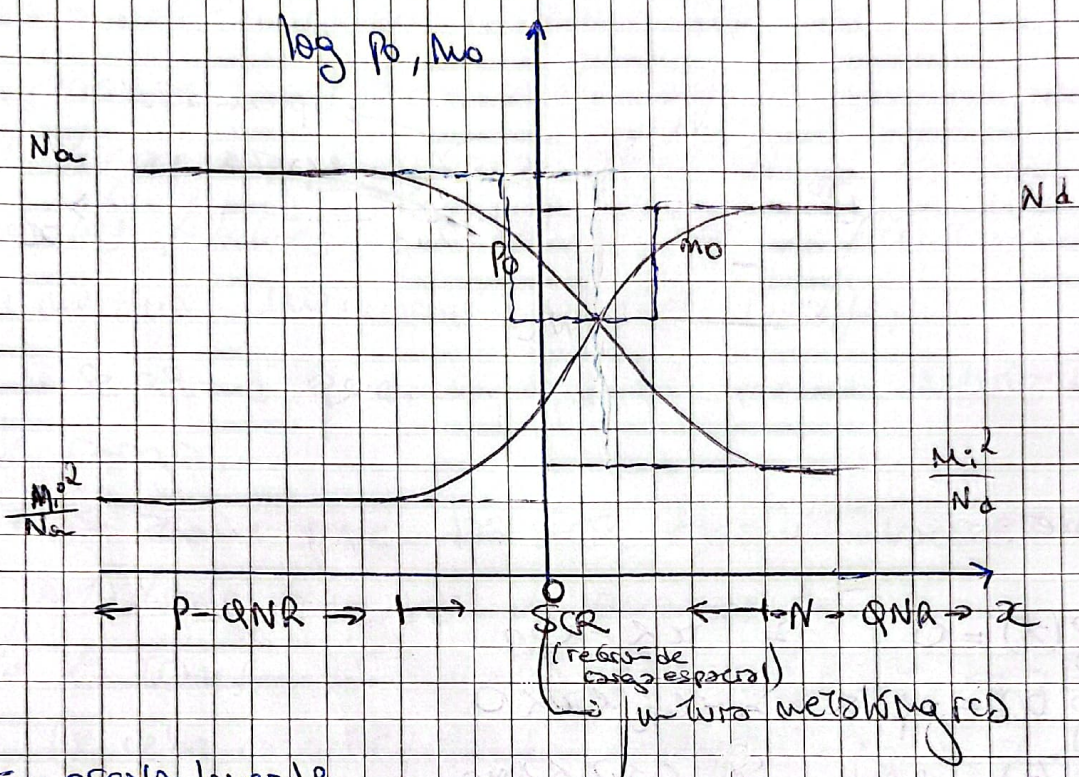
(b) (I)



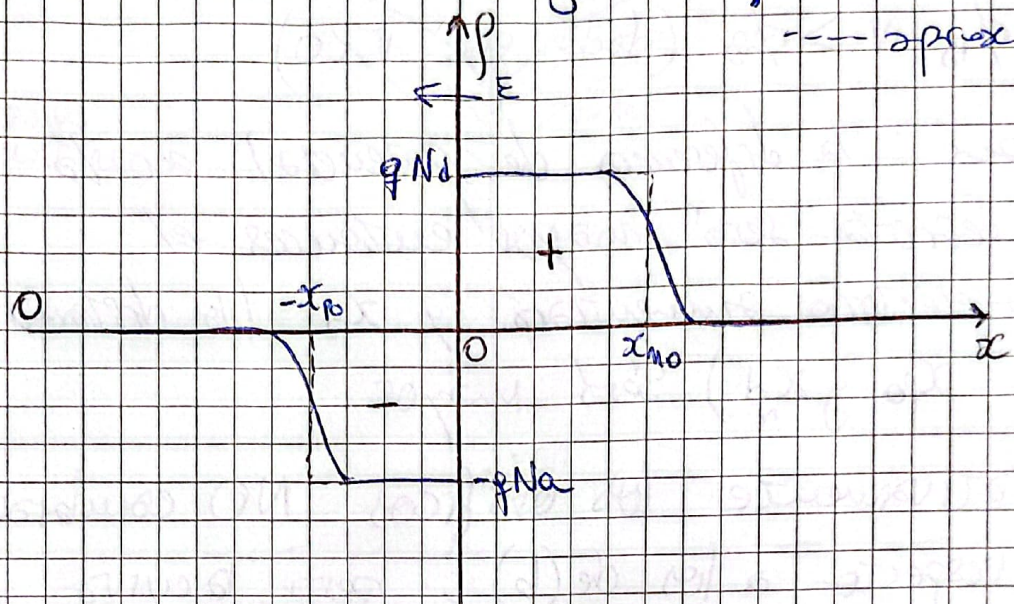
## II. DISTRIBUCIÓN DE PARTÍCULAS EN EQUILIBRIO TÉRMICO

En escala logarítmica:

-- aprob de vacondurca



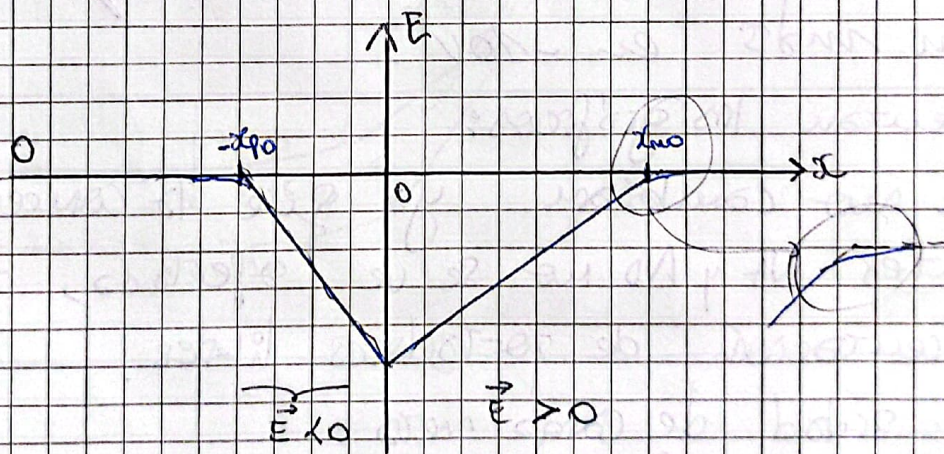
### III. Densidad de carga neta $\rho$



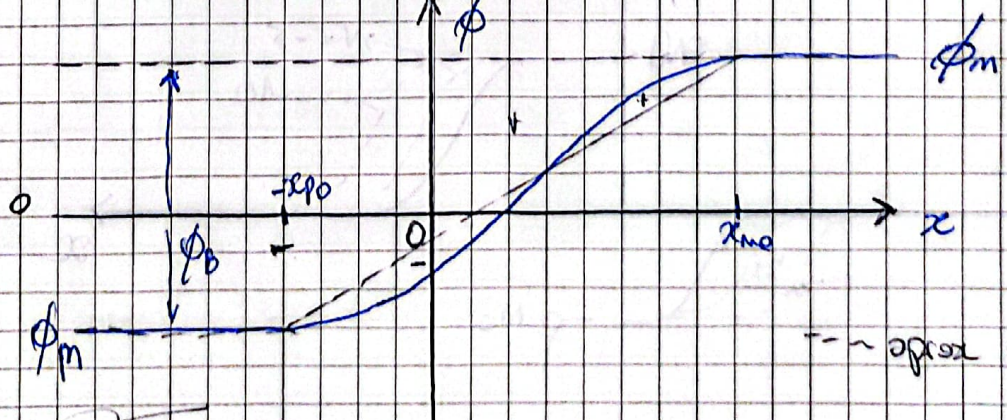
--- approx de volumen-10

### IV.

--- approx de volumen-10



### V.



--- approx de volumen-10

me voy  
con los de la caja,  
me cambio el  
pri-cri

me voy con el campo eléctrico,  
me cambio el potencial

Asamblea

c) En polarización inversa

$$\phi_B - V > \phi_B \quad (\text{dado que } V < 0)$$

Por lo que la diferencia de potencial en la zona desvirtuada será mayor entonces el campo eléctrico aumentará y  $x_d$  (la distancia entre  $x_p$  y  $x_n$ ) será mayor.

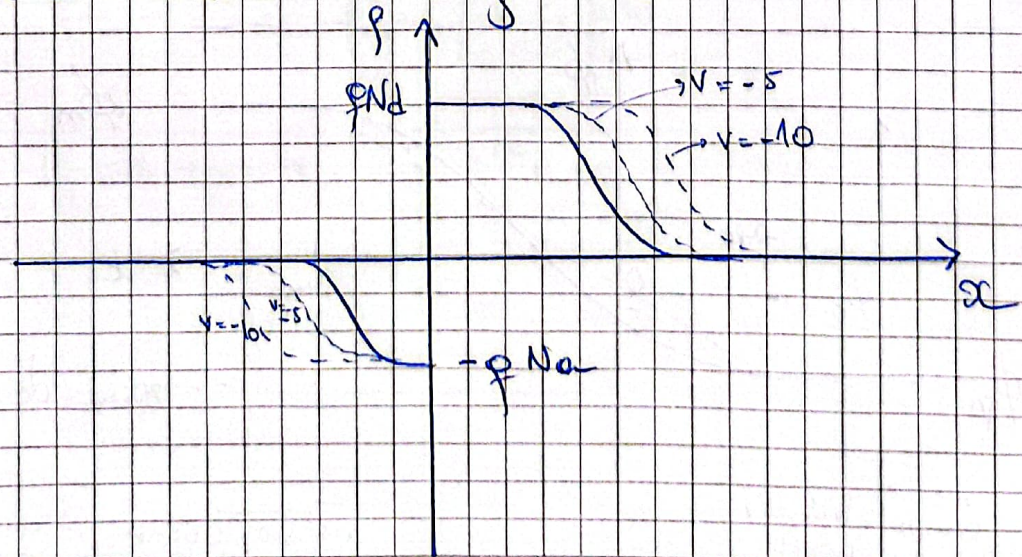
Qualitativamente los gráficos NO cambian con respecto a los de (b), pero la curva se desplazará hacia la zona de crecimiento de la variable.

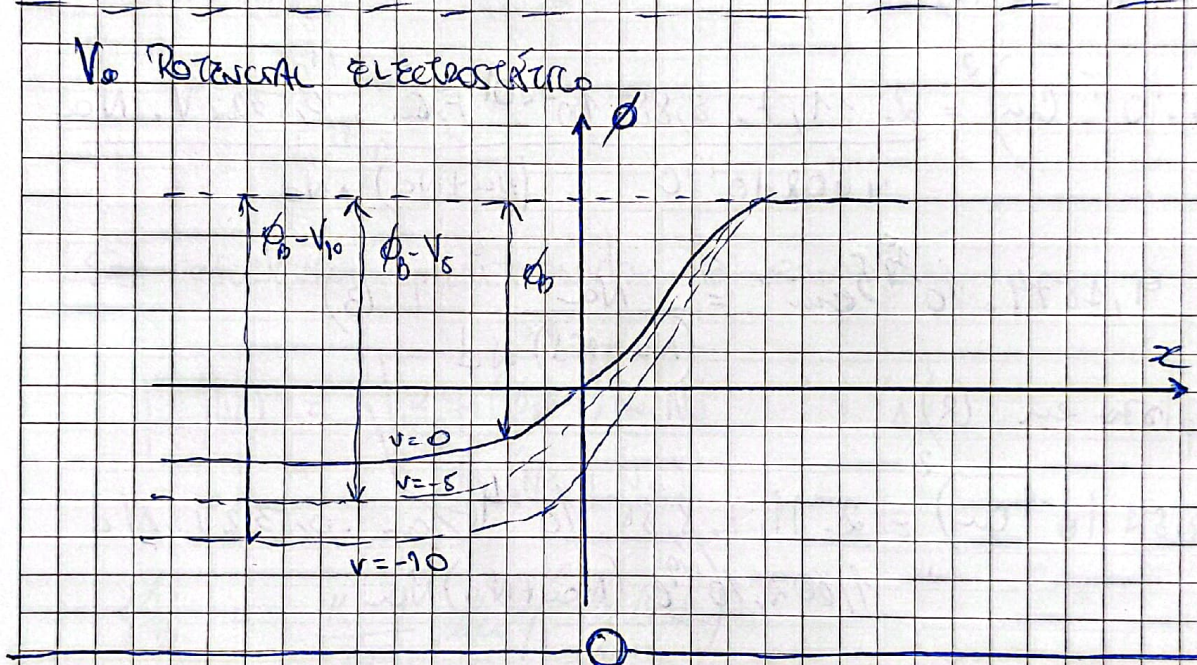
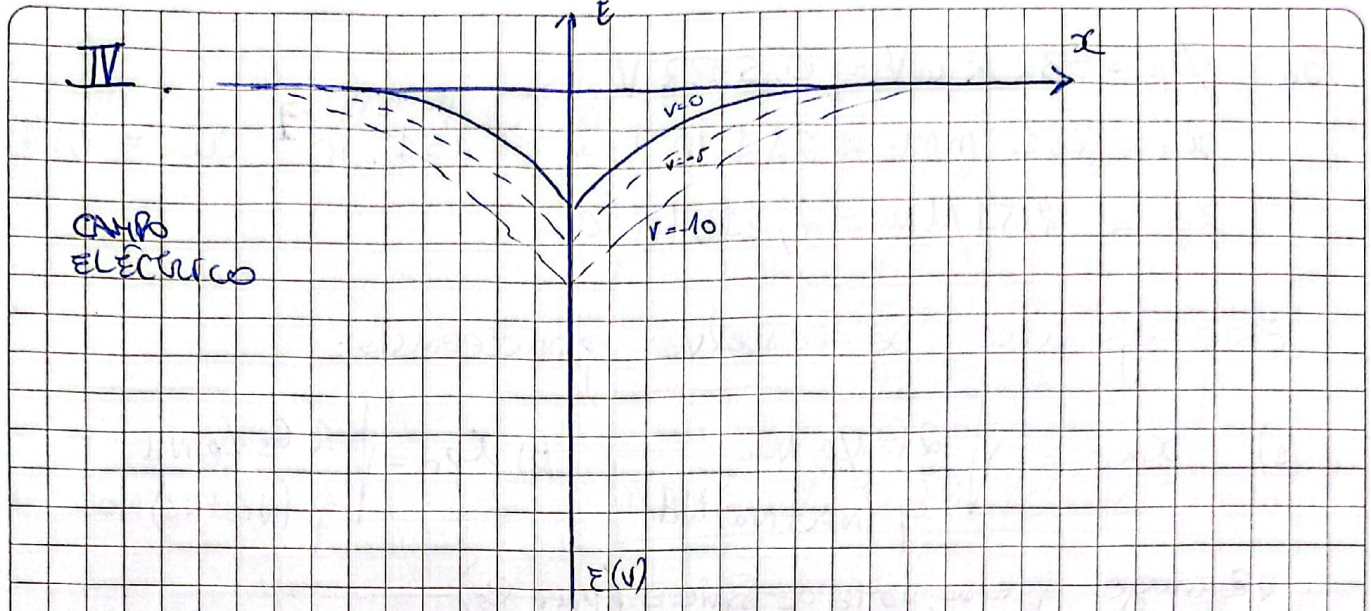
Dado que  $-10V < -5V$ , se desplazará aún más en  $-10V$ .

Se presentan los gráficos:

I y II no cambian ya que la concentración de iones  $N_A$  y  $N_D$  no se ve afectada, tan solo la concentración de portadores libres.

III. Densidad de carga neta





$$5. \phi_0 = 532,2 \text{ mV} = 0,5322 \text{ V}$$

$$x_m = 251 \text{ mm} = 251 \cdot 10^{-3} \text{ m} = 251 \cdot 10^{-3} \text{ cm} = 2,51 \cdot 10^{-2} \text{ cm}$$

$$\Delta p = 9,81 \text{ N/mm}^2 = 2,51 \cdot 10^{-4} \text{ cm}$$

Este ejercicio se resuelve planteando:

$$(1) x_{m0} = \sqrt{\frac{2 \epsilon_s \phi_0 N_a}{q (N_a + N_d) N_d}}$$

$$(2) x_{p0} = \sqrt{\frac{2 \epsilon_s \phi_0 N_d}{q (N_a + N_d) N_a}}$$

Supongo que se trata de silicio (para  $\epsilon_s$ )  
Reemplazo en (1)

$$(2,51 \cdot 10^{-2} \text{ cm})^2 = \frac{2 \cdot 11,7 \cdot 8,85 \cdot 10^{-14} \text{ F/cm} \cdot 0,5322 \text{ V} \cdot N_a}{1,602 \cdot 10^{19} \text{ C} \cdot (N_a + N_d) \cdot N_d}$$

$$9,1874 \cdot 10^{-12} \cdot \text{cm}^2 = \frac{N_a}{(N_a + N_d) N_d} \quad (3)$$

Reemplazo en (2)

$$(2,51 \cdot 10^{-2} \text{ cm})^2 = \frac{2 \cdot 11,7 \cdot 8,85 \cdot 10^{-14} \text{ F/cm} \cdot 0,5322 \text{ V} \cdot N_d}{1,602 \cdot 10^{19} \text{ C} \cdot (N_a + N_d) N_a}$$

$$9,1874 \cdot 10^{-12} \text{ cm}^2 = \frac{N_d}{(N_a + N_d) N_a} \quad (4)$$

Divido (3) por (4)

$$0,01 = \frac{N_a^2 (N_a + N_d)}{N_d^2 (N_a + N_d)}$$

$$0,01 N_d^2 = N_a^2 \Rightarrow$$

$$0,1 N_d = N_a$$

→ Tengo valores  
positivos

Despejo de (4)

$$9,1574 \cdot 10^{-19} \text{ cm}^{-3} = \frac{Nd}{(0,1Nd + Nd) \cdot 0,1Nd}$$

$$1,1Nd = \frac{10}{9,1574 \cdot 10^{-19} \text{ cm}^{-3}}$$

$$Nd = 9,9273 \cdot 10^{-19} \text{ cm}^{-3}$$

$$Na = 9,9273 \cdot 10^{17} \text{ cm}^{-3}$$

6.  $T = 300K$  Silicio

$$N_A = 10^{19} \text{ cm}^{-3}$$

$$N_D = 10^{17} \text{ cm}^{-3}$$

Se resuelve planteando la ecuación

$$|\varepsilon|(N) = \sqrt{\frac{2q(\phi_B - V)NaNd}{\epsilon_0(Na + Nd)}} \quad (4)$$

$$\phi_B = \frac{kT}{q} \ln \left( \frac{NaNd}{N_A^2} \right)$$

$$N_A = 6,822 \cdot 10^9 \text{ cm}^{-3}$$

$$k = 1,381 \cdot 10^{-23} \frac{\text{J}}{\text{K}}$$

$$\phi_B = \frac{1,381 \cdot 10^{-23} \frac{\text{J}}{\text{K}} \cdot 300 \text{ K}}{1,602 \cdot 10^{-19} \text{ C}} \ln \left( \frac{10^{19} \text{ cm}^{-3} \cdot 10^{17} \text{ cm}^{-3}}{(6,822 \cdot 10^9 \text{ cm}^{-3})^2} \right)$$

$$\phi_B = 0,9725 \text{ V} \quad (2)$$

resolver (3) con (2) y (1).

$$|\varepsilon_{mox}| = 5 \cdot 10^5 \text{ V/cm} \geq \sqrt{2 \cdot 1,602 \cdot 10^{-19} \text{ C} \cdot (0,9725 \cdot 1 - V) \cdot 10^{14} \cdot 10^{-6} \text{ cm}^6} \\ 14 \cdot 8,85 \cdot 10^{-12} \text{ F/cm} \cdot (10^{19} \text{ cm}^{-3} + 10^{11} \text{ cm}^{-3})$$

-8,16,50 V/cm < V < 0

motor que dirá me gira  
como en inverso

### • Parte II: Capacidad de junta

7. Modificar la tensión aplicada externamente a la junta PN modula el ancho total de la zona de vaciamiento. Dicha variación genera una variación en la densidad de carga y por ende puede asociarse a una capacidad.

Se produce un cambio en  $\Delta V$  entre los lados de la junta.

$$\Rightarrow \text{Cambio de } \Delta Q_j \text{ en } -x_p \\ \Rightarrow \text{Cambio de } -\Delta Q_j \text{ en } x_m$$

en tales, se define la capacidad de junta por unidad de área (usando approx. de vaciamiento):

$$C_j'(V) = \frac{C_s}{x_d(V)} = \sqrt{\frac{q_s E_s N_a N_d}{2(\phi_B - V)(N_a + N_d)}} = \frac{C_{j_0}'}{\sqrt{1 - \frac{V}{\phi_B}}}$$

$[C_j'] = \frac{F}{\text{cm}^2}$

↑ mayor tensión aplicada aumenta la capacidad  
↓ inversa.

$$C_j^1(V) = \frac{G_0}{x_d(V)} = \sqrt{\frac{qE_NaNd}{2(\phi_0 - V)(Na + Nd)}} = \frac{C_{j0}^1}{\sqrt{1 - \frac{V}{\phi_0}}}$$

Conservando el área A de la junta, la capacidad es:

$$[C_j] = F, \quad C_j(V) = A \cdot C_j^1(V) \quad \left\{ \begin{array}{l} \text{es proporcional al} \\ \text{área de la junta.} \end{array} \right.$$

$C_j$  depende de la tensión de polarización aplicada (porque  $x_d$  depende) y del dopaje ( $N_a, N_d$  aumentan, entonces  $C_j$  aumenta).

Ejemplos, con respecto al ejercicio:

$$A = 10^{-4} \text{ cm}^2$$

$$V = -5 \text{ V}$$

$$N_a = 10^{16} \text{ cm}^{-3}$$

$$N_d = 10^{15} \text{ cm}^{-3}$$

$$\phi_0 = 0,6748 \text{ V}$$

$$C_j^1(-5 \text{ V}) = \sqrt{\frac{1,602 \cdot 10^{19} \text{ C} \cdot 10^{16} \text{ cm}^{-3} \cdot 10^{-4} \text{ cm}^{-2} \cdot 11,7 \cdot 3,85 \cdot 10^{14} \text{ F/cm}}{2(0,6748 - (-5)) (10^{16} \text{ cm}^{-3} + 10^{15} \text{ cm}^{-3})}}$$

$$C_j^1(-5 \text{ V}) = 3,6450 \cdot 10^{-9} \frac{\text{F}}{\text{cm}^2}$$

Ejemplos

$$C_j(-5 \text{ V}) = 10^{-4} \text{ cm}^2 \cdot 3,6450 \cdot 10^{-9} \frac{\text{F}}{\text{cm}^2}$$

$$C_j(-5 \text{ V}) = 3,6450 \cdot 10^{-13} \text{ F}$$

8. Em una junta PN simétrica  $N_a = N_d \Rightarrow x_{p0} = x_{n0}$

$$\phi_B = 0,9V$$

Supongo que el material es silicio.

$$\phi_B = \frac{kT}{q} \ln \left( \frac{N_a N_d}{N_i^2} \right)$$

$$0,9V = 1,383 \cdot 10^{-23} J/K \cdot 300K \ln \left( \frac{N_a^2}{(6,822 \cdot 10^9 cm^{-3})^2} \right)$$

$$2,4593 \cdot 10^{17} cm^{-3} = N_a = N_d$$

$$C_j'(V) = \sqrt{\frac{q \epsilon_s N_a N_d}{2(\phi_B - V)(N_a + N_d)}}$$

$$\text{Si } V=0 \Rightarrow C_{j0}' = \sqrt{\frac{q \epsilon_s N_a N_d}{2 \phi_B (N_a + N_d)}}$$

$$C_{j0}' = \sqrt{\frac{1,602 \cdot 10^{-19} C \cdot 11.8 \cdot 8,85 \cdot 10^{14} F/cm \cdot (2,4593 \cdot 10^{17} cm^{-3})}{2 \cdot 0,9V \cdot (2,4593 \cdot 10^{17} cm^{-3} \cdot 2)}}$$

$$C_{j0}' = 1,0645 \cdot 10^{14} F$$

9. Una Junta P+N significa que el lado P es mucho más dopado que el lado N, es decir es una junta muy asimétrica.

Por lo tanto,  $N \gg N_d$ .

En una junta muy asimétrica, la capaida es dominada por el lado menos dopado, es decir que:

$$C_J'(v) = \sqrt{\frac{q E_S N_d}{2(\phi_B - v)}}$$

Dado que:

$$C_J'(0) = C_{J0} = \sqrt{\frac{q E_S N_d}{2 \phi_B}}$$

reemplazo con los datos:

$$29 \cdot 10^{-9} \frac{F}{cm^2} = \sqrt{\frac{1,602 \cdot 10^{-19} C \cdot 117,885 \cdot 10^{-14} J/cm^2 N_d}{2 \cdot 0,840 V}}$$

$$8,5175 \cdot 10^{15} cm^{-3} = N_d$$

De donde:

$$\phi_B = \frac{kT}{q} \ln \frac{N_d N_A}{N_A^2}$$

$$0,840 V = \frac{1,381 \cdot 10^{-23}}{1,602 \cdot 10^{-19}} \frac{K}{J} \cdot 300 K \ln \left( \frac{N_A \cdot 8,5175 \cdot 10^{15} cm^{-3}}{(6,822 \cdot 10^9 cm^{-3})^2} \right)$$

$$N_A = 6,9782 \cdot 10^{23} cm^{-3}$$

$N_A \gg N_d$  el resultado es coherente.

Finalmente:

$$\phi_p = - \frac{kT}{q} \ln \frac{N_d}{n_i} = - \frac{1,381 \cdot 10^{-23} \text{ J}}{1,602 \cdot 10^{-19} \text{ C}} \cdot \frac{300 \text{ K}}{6,822 \cdot 10^9} \ln \left( \frac{6,9782 \cdot 10^{24}}{6,822 \cdot 10^9} \right)$$

$$\boxed{\phi_p = -0,7151 \text{ V} = -715,1 \text{ mV}}$$

$$\phi_m = \frac{kT}{q} \ln \frac{N_d}{n_i} = \frac{1,381 \cdot 10^{-23} \cdot 300 \text{ K}}{1,602 \cdot 10^{-19} \text{ C}} \ln \left( \frac{8,5175 \cdot 10^{11}}{6,822 \cdot 10^9} \right)$$

$$\boxed{\phi_m = 0,1248 \text{ V} = 124,8 \text{ mV}}$$

10º Finalmente, al ser una junta  $P^+N$  muy

asimétrica  $N_d \gg N_a$ .

$$T = 300 \text{ K}$$

$$\phi_p = 0,855 \text{ V}$$

$$m := \text{pendiente} = -10^{15} \left( \frac{\text{F/m}^2}{\text{V}} \right)^{-2}$$

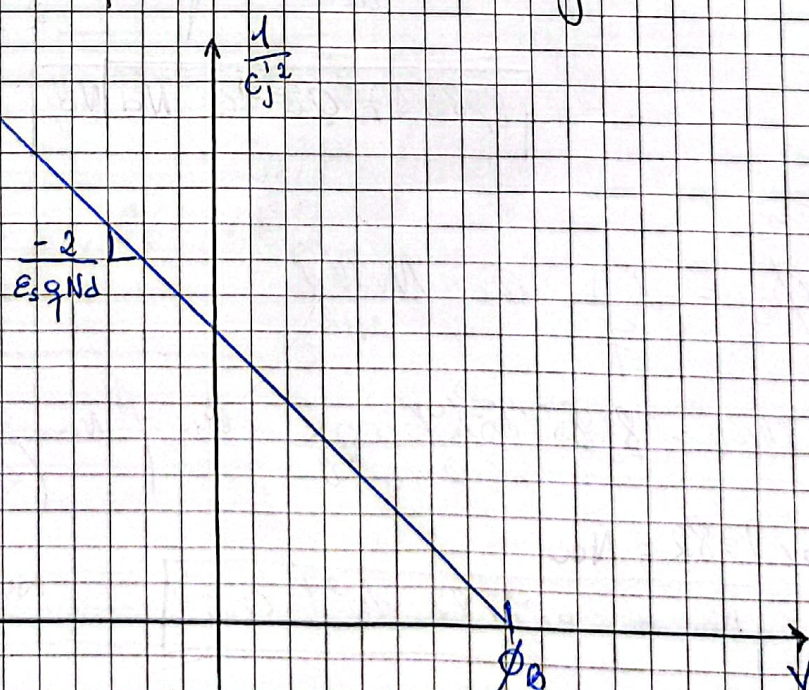
$$\frac{1}{C_J^{1/2}} \approx \frac{2(\phi_B - V)}{q E_s N_d}$$

no decaza

siempre

cota el efecto si:  $r = \phi_B \Rightarrow \frac{1}{C_J^{1/2}} = 0$

El gráfico se puede ver de la siguiente manera:



La pendiente vale:

$$\mu = \frac{-2}{\epsilon_s g N_d} = -10^{15} \left( \frac{F}{C^2} \right)^{-2}$$

Es decir:

$$71,7 \cdot 8,8 \cdot 10^{-10} \text{ Fm} \cdot 1,602 \cdot 10^{19} \text{ C Nd} = -10^{15} \left( \frac{F}{C^2} \right)^{-2}$$

$$N_d = 1,2056 \cdot 10^{12} \text{ cm}^{-3}$$

Para obtener  $N_{av}$ :

$$\phi_B = \frac{kT}{q} \ln \left( \frac{N_a N_d}{N_{av}^2} \right)$$

reemplazando con los datos:

$$0,858 V = \frac{1,381 \cdot 10^{-23} J/K \cdot 300 K}{1,602 \cdot 10^{19} C} \ln \left( \frac{1,2056 \cdot 10^{12} N_a}{(6,82 \cdot 10^{22})^2} \right)$$

$$N_{av} = 8,8055 \cdot 10^{21} \text{ cm}^{-3}$$

• Parte III : Trítegradores

11.(a) Pasa las conductividades a resistencias

Tal que

$$\sigma = \frac{1}{\rho}$$

(DOPAJE  
DENS  
Nd)  $\rho_N = \frac{1}{48} \Omega \text{ cm} \approx 0,020833 \Omega \text{ cm} = 2,0833 \cdot 10^{-2} \Omega \text{ cm}$

(DOPAJE  
Acotado  
Na)  $\rho_P = \frac{1}{15,36 \cdot 10^3} \Omega \text{ cm} = 3325 \Omega \text{ cm} \approx 65,1042 \Omega \text{ cm}$

Las conductividades son muy diferentes entre si, observando el gráfico de resistencia en función de dopaje se puede decir que:

$$N_A = 2 \cdot 10^{14} \text{ cm}^{-3}; N_D = 4 \cdot 10^{18} \text{ cm}^{-3}$$

Dado que la diferencia entre ambos es mayor a los de 2, entonces puede afirmarse que la juntura es fuertemente asimétrica.

Se aproxima mediante el gráfico de resistencia y dando la de dopante.

Esto es una forma de resolver el ejercicio, pero otra manera es plantear las ecuaciones y despejarlo

$$\phi_B = \frac{kT}{q} \ln \left( \frac{N_A N_D}{(n_i)^2} \right) \quad (1)$$

$$x_{d_0} = \sqrt{\frac{2\epsilon_s \phi_B (N_{a+Nd})}{q N_a N_d}} \quad (2)$$

$$|\epsilon_0| = \sqrt{\frac{2\pi \phi_B N_a N_d}{\epsilon_s (N_{a+Nd})}} \quad (3)$$

Desarrollo (2):

$$2,17 \cdot 10^{-6} \text{ cm} = \sqrt{\frac{2 \cdot 1,17 \cdot 8,85 \cdot 10^{14} \text{ F/cm} \cdot \phi / (N_{a+Nd})}{1,602 \cdot 10^{-19} \text{ C} \cdot N_a \cdot N_d}}$$

$$3,6426 \cdot 10^{-15} = \frac{\phi_B (N_{a+Nd})}{N_a \cdot N_d} \quad (4)$$

Desarrollo (3)

$$6,17 \cdot 10^3 \text{ V/cm} = \sqrt{\frac{2 \cdot 1,602 \cdot 10^{-19} \text{ C} \cdot \phi_B N_a N_d}{1,17 \cdot 8,85 \cdot 10^{14} \text{ F/cm} \cdot (N_{a+Nd})}}$$

$$1,4507 \cdot 10^{14} = \frac{\phi_B N_a N_d}{(N_{a+Nd})}$$

$$N_{a+Nd} = \frac{\phi_B \cdot N_a N_d}{1,4507 \cdot 10^{14}} \quad (5)$$

Reemplazo en (4)

$$3,6426 \cdot 10^{-15} = \phi_B \cdot \phi_B \cdot \frac{N_a N_d}{1,4507 \cdot 10^{14} (N_{a+Nd})}$$

$$0,5284 = \phi_B^2 \Rightarrow \boxed{\phi_B = 0,72695 \text{ V}} \quad (6)$$

Darse por cierto!

Asamblea

Reemplazo (6) en (3):

$$0,72695 = \frac{1,381 \cdot 10^{23} \text{ s/r} \cdot 300 \text{ K}}{1,602 \cdot 10^{19} \text{ C}} \ln \left( \frac{\text{Na Nd}}{(6,822 \cdot 10^9)^2} \right)$$

$$1,6135 \cdot 10^{12} = \frac{\text{Na Nd}}{(6,822 \cdot 10^9)^2}$$

$$7,5092 \cdot 10^{34} \text{ am}^2 = \text{Na Nd}$$

$$\frac{7,5092 \cdot 10^{34}}{\text{Nd}} = \text{Na} \quad (7)$$

Reemplazo en (4)

$$3,6426 \cdot 10^{15} = 0,72695 \cdot V \cdot \frac{(7,5092 \cdot 10^{34})}{\frac{\text{Nd}}{\text{Nd}}} + \text{Nd}$$

$$\text{Nd} - 3,7629 \cdot 10^{17} \text{ Nd} + 7,5092 \cdot 10^{34} = 0$$

$$\cancel{\text{Nd}} \rightarrow 3,7608 \cdot 10^{17} \text{ Cu}^{-3} \Rightarrow \text{Na} = 1,9967 \cdot 10^{14} \text{ Cu}^{-3}$$

$$\cancel{\text{Nd}} \rightarrow 1,9966 \cdot 10^{14} \text{ Cu}^{-3} \Rightarrow \text{Na} = 3,7608 \cdot 10^{17} \text{ Cu}^{-3}$$

Observando el gráfico de representación en función de  $\log(\text{Na})$ , el resultado es correcto de acuerdo a la figura.

(b) Punto de la aproximación de vacío:

$$Q_j(v) = \sqrt{\frac{2\varphi G_s N_a N_d (\phi_0 - V)}{N_a + N_d}} = Q_{j0} \sqrt{1 - \frac{V}{\phi_0}}$$

Nuevamente, el dato de la carga en realidad no es necesario ya que

$$\sigma = \varphi / (m_0 \mu_m + \rho_0 \mu_p) \quad [(2 \text{ a})^{-1}]$$

y se sabe que para el lado

$$N: \sigma_N = 48 (2 \text{ a})^{-1}$$

$$m_0 = N_a \quad (\text{encuentro en el punto (a)})$$

$$\rho_0 = \frac{(m_i)^2}{N_a} \quad (\text{podría despreciarse})$$

$$P: \sigma_P = 75,36 \cdot 10^{-3} (2 \text{ a})^{-1}$$

$$m_0 = \frac{(m_i)^2}{N_a} \quad (\text{podría despreciarse})$$

$$\rho_0 = N_a$$

$$m_i = 6,822 \cdot 10^9 \text{ cm}^{-3} \quad \text{en silicio}$$

De esta manera:

$$\sigma_N = 1,602 \cdot 10^{19} \text{ C} \cdot \mu_m \cdot N_a$$

$$48 (2 \text{ a})^{-1} = 1,602 \cdot 10^{19} \text{ C} \cdot \mu_m \cdot 8 \cdot 10^{18} \text{ cm}^{-3}$$

$$\mu_m \approx 74,90 \times \boxed{75 \frac{\text{cm}^2}{\text{Vs}} = \mu_m}$$

$$\sigma_p = 1,602 \cdot 10^{19} C \cdot \mu_p \cdot N_A$$

$$15,36 \cdot 10^{21} = 1,602 \cdot 10^{19} C \cdot \mu_p \cdot 2 \cdot 10^{14} cm^{-3}$$

$$15,36 \approx \frac{\mu_p \approx 480 cm^2}{Vs}$$

De estos números, se obtienen los resultados.

12. Silicio

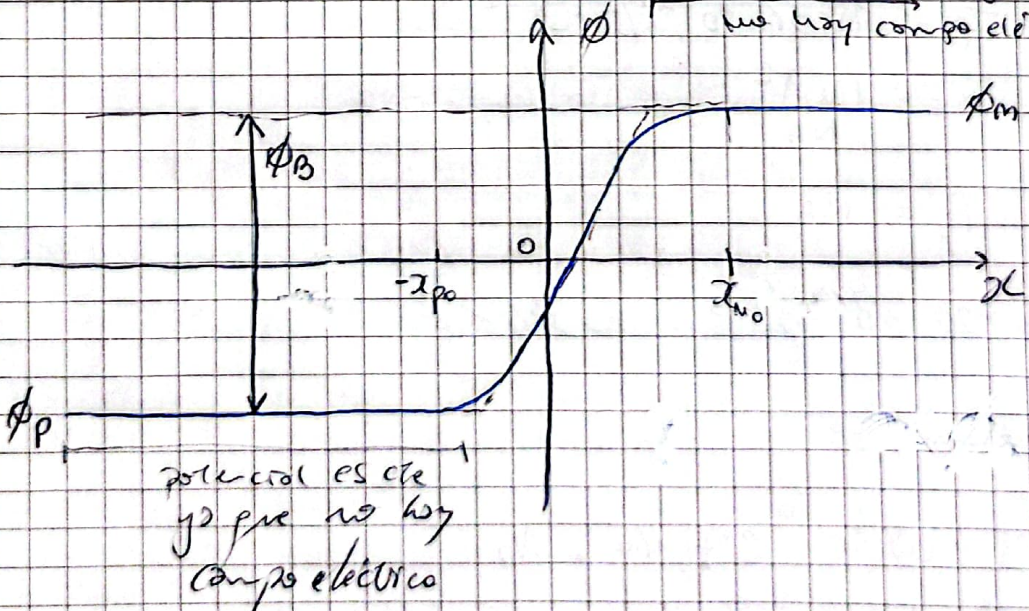
$$N_A = 10^{18} cm^{-3}$$

$$T = 300 K$$

a)  $\phi_B$  es potencial eléctrico y es la diferencia de potencial entre  $\phi_m$  y  $\phi_p$  por lo cual sus tramos son justamente estos. (siempre es positivo)

$$0 < \phi_B < \phi_m - \phi_p$$

Potencial es crece ya que  
me voy como eléctrico



En cuanto a los tramos numéricos de  $\phi_B$ , si  $\phi_B \leq 1,1$  ya que 550mV es la diferencia de potencial máxima que en equilibrio puede alcanzar una región P o N respecto a la inversa, entonces la máxima diferencia se obtiene teniendo una región P con -550mV.

de potencial y una con  $N$  con ~~solo~~<sup>un</sup> de potencial, de forma tal que la diferencia de potencial sea  $1,1\text{V}$ . ¿Por qué ~~solo~~<sup>un</sup> V es el máximo? Es un hecho experimental, a partir de ~~que~~<sup>el</sup> valor de concentración de dopantes (se podría calcular usando) la fórmula que te da el potencial en función de la densidad de dopantes y poniendo ~~550~~<sup>550</sup> mV y despejando), aunque aumentes la cantidad de dopantes no crece más de 550 mV.

$$b) |E|(V) = \sqrt{\frac{2q(\phi_0 - V) N_a N_d}{\epsilon (N_a + N_d)}}$$

Dado que desconocemos el valor de  $\phi_0$ , pero se sabe que  $V$  se encuentra ( $\phi_0$ ) puede afirmar que:

$$|V| = 45\text{V} > \phi_0 \Rightarrow \phi_0 + V \approx V$$

• para punto (a)  $\phi_0 \approx 11,1$

De esta manera, reemplazando

$$(3 \cdot 10^5 \text{V/cm})^2 = \frac{2 \cdot 1,602 \cdot 10^{-19} \text{C} \cdot 45\text{V} \cdot 1 \cdot 10^{18} \text{cm}^{-3} \text{Nd}}{11,7 \cdot 8,85 \cdot 10^{-14} \text{F/cm} (10^{18} \text{cm}^{-3} + \text{Nd})}$$

$$\Rightarrow \boxed{\text{Nd} \approx 6,5055 \cdot 10^{18} \text{cm}^{-3}}$$

c) Es evidente, sole de observar la ecuación,  
que si sumamos el No, tal que  $N \ll NA$   
(toda vez) y sumando los, por lo que  
es una cosa nula.

13. a) Junta P+N → fuerte desviación

$$N_A \gg N_D$$

dominan el lado menor de la electricidad de la junta PN

Es decir que:

$$|E_0| \approx \sqrt{\frac{2q\phi_B N_D}{\epsilon_s}} \propto \sqrt{N_D}$$

$$10 \cdot 10^3 V/cm = \sqrt{\frac{2 \cdot 1,602 \cdot 10^{19} C \cdot 4,5 \cdot 10^{14} cm^{-3}}{11,7 \cdot 8,85 \cdot 10^{-14} F/cm}}$$

$$\phi_B = 0,7181 V = 718,1 mV$$

$$\phi_m = V_{th} - \frac{m_o}{m_i} \ln \left( \frac{N_D + N_N - m_o}{N_D} \right) = 0,2874 V$$

$$-\phi_p = \phi_B - \phi_m = 0,7181 - 0,2874 = 25,8 mV \quad \frac{m_o}{m_i} = \frac{N_A}{N_D} \Rightarrow$$

$$N_A = 1,1374 \cdot 10^{17} cm^{-3} \Rightarrow \text{es simple P+N}$$

b) El límite de ruptura es el siguiente campo eléctrico que puede soportar un medio sin que se rompa el aislamiento.

El dielectro hace que el campo eléctrico en el interior de un condensador sea menor que el dielectro.

$$190 \cdot 10^3 V/cm = \sqrt{\frac{2 \cdot 1,602 \cdot 10^{19} C \cdot \phi_B = 1,5 \cdot 10^{-14} cm^{-3}}{11,7 \cdot 8,85 \cdot 10^{-14} F/cm}} \Rightarrow \phi_B = 207,5496 V$$

VALOR ABSURDO!

$\phi_B$  nunca puede exceder 9,9 V (para una óptica de 88% de vidrio). Para una junta PN:  $0 < \phi_m < 550 mV$

$$\phi_B_{mox} = \phi_{mox} = \phi_{pmax} = 1,4 V \ll 207 V \quad 0 \geq \phi_p \geq -580 mV$$

$N_D = 10^{20} cm^{-3} \rightarrow N_A = 10^{10} cm^{-3}$  para  $\phi_B_{mox} = 287 - (-580 mV) = 837 mV$  Asamblea

c)

Versión 1: (en juntas muy finas):

$$170 \cdot 10^3 \frac{V}{cm} > \sqrt{2 \cdot q \phi_B \cdot 10^{-17} \text{ C}} \Rightarrow 0,9339 V > \phi_B$$

$$\phi_m = V_{th} \ln \left( \frac{N_A}{n_i} \right) = 4,27,36 \text{ mV} \Rightarrow \phi_p = -0,6,54 \text{ mV} > -880 \text{ mV}$$

$$-\frac{506,84}{1000} = V_{th} \ln \left( \frac{N_A}{n_i} \right) \Rightarrow N_A = 2,1263 \cdot 10^{18} \text{ cm}^{-3} < 1 \cdot 10^{20} \text{ cm}^{-3}$$

valor mostrado.

d) El ancho total de la región de carga espacial se define como

$$x_{do} = x_{no} + x_{po} = \sqrt{\frac{2 \epsilon_s \phi_B (N_A + N_D)}{q N_A N_D}}$$

Se puede observar que 2 regiones concéntricas de separación  $x_{do}$  desaparecen.

Para obtener la densidad volumétrica de carga

$$\rho(x) = \begin{cases} 0 & \text{si } x < -x_{po} \\ -q N_A & \text{si } -x_{po} < x < 0 \\ q N_D & \text{si } 0 < x < x_{no} \\ 0 & \text{si } x_{no} < x \end{cases}$$

Para obtener el campo eléctrico debes integrar la densidad volumétrica, por lo que, al tener una mayor densidad de carga volumétrica el campo eléctrico será mayor.

$$E(x) = \begin{cases} 0 & \text{Si } x < -x_{p_0} \\ \frac{-q N_a}{G_s} (x + x_{p_0}) & \text{Si } -x_{p_0} < x < 0 \\ \frac{q N_d}{G_s} (x - x_{n_0}) & \text{Si } 0 < x < x_{n_0} \\ 0 & \text{Si } x_{n_0} < x \end{cases}$$

Finalmente, para obtener el potencial eléctrico, integra el campo eléctrico, de forma que:

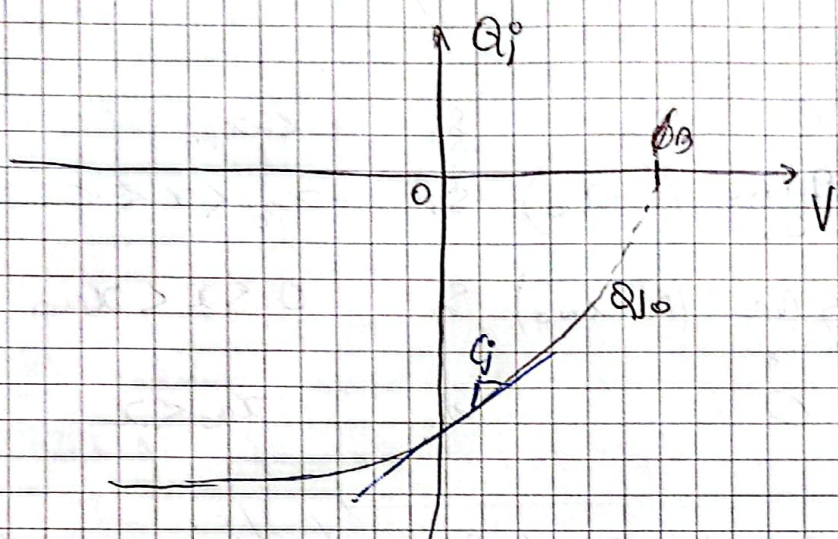
$$\phi(x) = \begin{cases} \phi_p & \text{Si } x < -x_{p_0} \\ \frac{q N_a}{2 G_s} (x + x_{p_0})^2 + \phi_p & \text{Si } -x_{p_0} < x < 0 \\ \frac{-q N_d}{2 G_s} (x - x_{n_0})^2 + \phi_m & \text{Si } 0 < x < x_{n_0} \\ \phi_m & \text{Si } x_{n_0} < x \end{cases}$$

De esta manera, cuanto menor sea  $x$ ,  $(x+x_{p_0})$  y  $(x-x_{n_0})$  serán mayores, es decir, que el potencial en menor distancia implicará un mayor campo eléctrico, siempre y cuando la concentración de portadores siga en aumento y se mantenga el potencial.

14. (a) La capacidad es la pendiente de la curva  $Q_j$  vs.  $V$ , es decir:

$$C_j = \frac{dQ_j}{dV}$$

grafico constante.



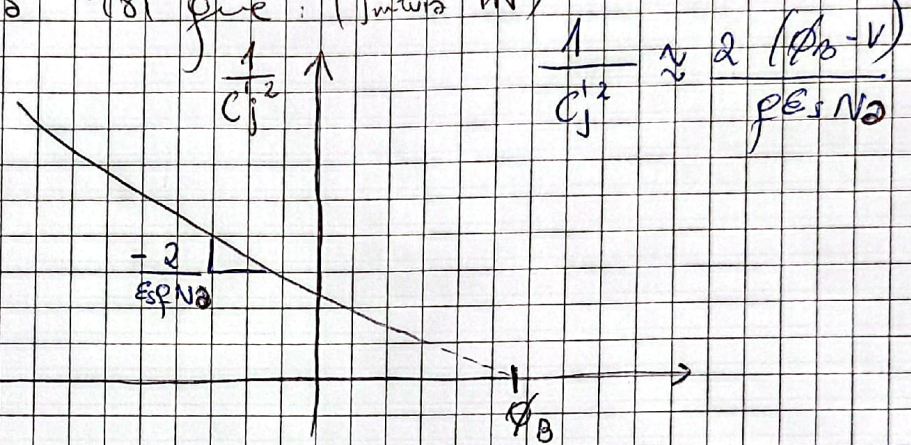
Notar que la curva se va haciendo horizontal y la pendiente es cada vez menor a medida que el potencial disminuye.

Esto se debe a que al aumentar la tensión inversa, la zona desértica SCR (Zona de vacío) comienza a disminuir puesto que se reduce el drifto de carga en la zona deserto (SC) de modo de compensar el potencial forzado externamente.

(b)  $\phi_B$  carta de elección.

Se da cuando  $\phi_B(v) = 0 \Rightarrow \phi_B = V$

Con los valores de la tabla se puede hacer una recta tal que: ( $j_{máx}$ ,  $P_N^+$ )

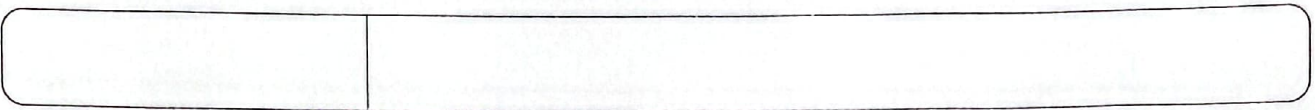


$$y - y_1 = \frac{y_2 - y_1}{x_2 - x_1} (x - x_1)$$

$$G - 3,6 = \frac{3,6 - 3,6}{-2 - (-1)} (V - 3)$$

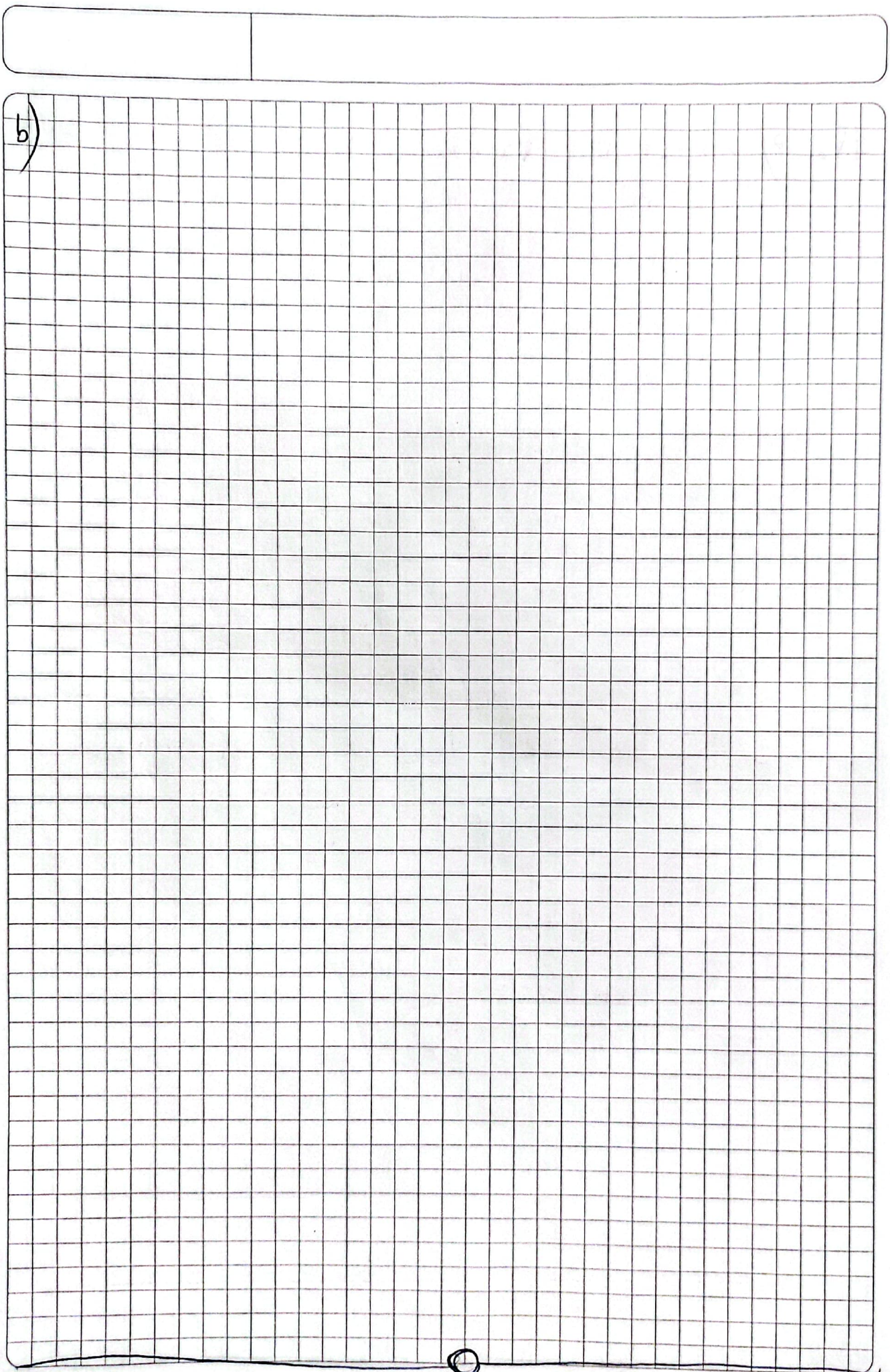
$$c_j = V + 4 + 3,6$$

$$\boxed{c_j = V + 4,6}$$



15. 2)

b)



Asamblea.